

# Echos de photons, Franges de Ramsey et Interférométrie Atomique.

III - 1

## Buts de cours

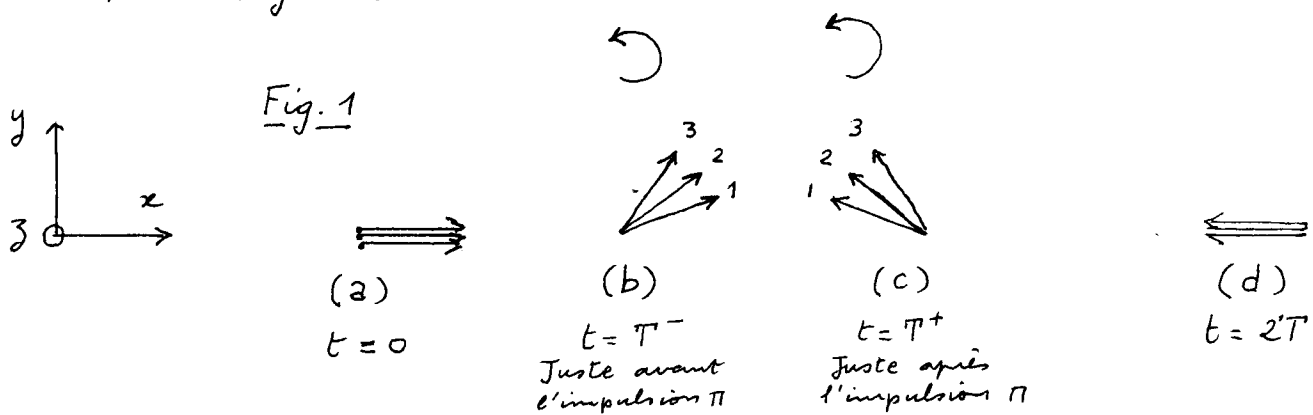
- Passer en revue un certain nombre d'expériences où un atome traverse successivement plusieurs ondes laser progressives et où le signal intéressant ne s'annule pas après moyenne sur les vitesses atomiques.
- Montrer que chacune de ces expériences peut être interprétée comme une expérience d'interférométrie atomique dans laquelle un paquet d'ondes atomique incident est séparé en 2 paquets d'ondes cohérents, ces 2 paquets d'ondes étant ensuite recombines. Il existe donc un lien intéressant entre certaines expériences de spectroscopie laser à haute résolution sans effet Doppler et l'interférométrie atomique.

## ① Echos de photons à 2 ondes progressives.

### a - Etude qualitative

- Rappel du principe des échos de photons en RMN (Réf. 1)
 

Des spins, placés dans un champ magnétique inhomogène ont des fréquences de Larmor autour de  $Oz$  variant d'un spin à l'autre. A  $t=0$ , ils pointent tous le long de la direction positive de  $Oz$ . Une impulsion  $\pi/2$  très brève de radiofréquence les bascule tous le long de  $Ox$  (Fig. 1a). Les spins prennent alors librement autour de  $Oz$ , les plus rapides prenant une certaine avance sur les plus lents (Fig. 1b). A l'instant  $t=T$ , on applique une impulsion  $\pi$  très brève de radiofréquence autour de  $Oy$ , ce qui revient à placer chaque spin dans l'état symétrique par rapport à  $Oy$  (Fig. 1c). Les spins continuent alors à précesser dans le même sens autour de  $Oz$ , mais l'effet de l'impulsion  $\pi$  a été de replacer les plus rapides après les plus lents (comparer les figures 1.b et 1.c). Les plus rapides vont donc rattraper les plus lents, et à l'instant  $t=2T$ , les spins vont tous se retrouver en phase (Fig. 1d)



- Traversée de 2 ondes laser progressives parallèles produisant des impulsions  $\pi/2$  et  $\pi$ . (Pour les échos de photons optiques, voir Réfs 2 et 3)
  - Revenons aux expériences discutées dans le cours II. Un atome

traverse 2 ondes laser progressives parallèles, la 1<sup>re</sup> produisant une impulsion  $\pi/2$ , la 2<sup>re</sup> une impulsion  $\pi$  (Fig. 2) III-2

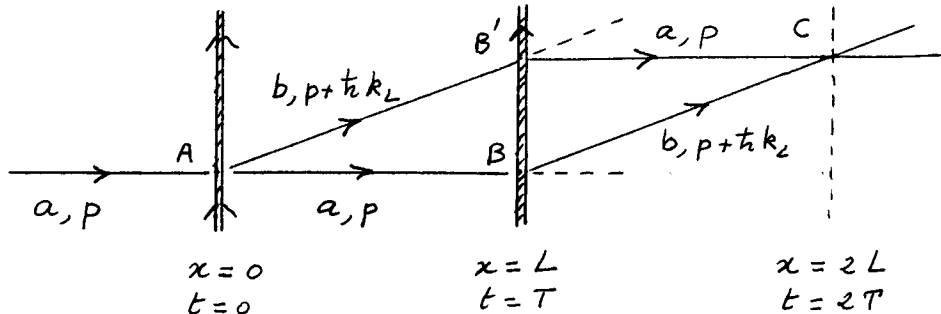


Fig. 2

Comme sur la figure 5 du cours II, l'atome arrive dans l'état  $|a, p\rangle$ . L'impulsion  $\pi/2$  associée à la traversée de la 1<sup>re</sup> onde laser en  $x=0$  (et  $t=0$ ), transforme son état en une superposition linéaire de  $|a, p\rangle$  et  $|b, p+tk_L\rangle$  avec des coefficients de même module ( $1/\sqrt{2}$ ). 2 chemins différents  $AB$  et  $AB'$  peuvent alors être suivis par le système. L'impulsion  $\pi$  associée à la traversée de la 2<sup>re</sup> onde laser transforme l'état  $|a, p\rangle$  du chemin  $AB$  en  $|b, p+tk_L\rangle$ , et l'état  $|b, p+tk_L\rangle$  du chemin  $AB'$  en  $|a, p\rangle$ .

- Sur la figure 2, les segments de droite  $AB$ ,  $AB'$ ,  $BC$ ,  $B'C\dots$  sont des représentations diagrammatiques des vecteurs d'onde associés aux ondes de de Broglie planes de l'atome. Ce ne sont donc pas des trajectoires classiques. Plus loin, dans le § 3, nous reviendrons sur la possibilité d'associer à ces segments de droite des trajectoires suivies par le centre d'un paquet d'ondes atomique.

Il apparaît clairement sur la figure 2 que les segments de droite représentant les états possibles du système après traversée de la 2<sup>re</sup> onde se recoupent en un point  $C$ , d'abscisse  $x=2L$  et correspondant donc à un temps  $t=2T$ . Est-il possible d'associer à ce point d'intersection  $C$  un phénomène d'écho analogue à celui de la figure 1 ?

- Avant d'associer au point  $C$  un phénomène de recombinaison entre 2 paquets d'ondes cohérents obtenus après traversée de la 1<sup>re</sup> lame (voir § 3), nous allons étudier ici le déphasage lié à l'évolution libre le long du chemin  $ABC$  et le long du chemin  $AB'C$  et montrer que les termes dépendant de  $v = p/M$  se compensent pour  $t=2T$ .

Considérons donc un instant  $t > T$  postérieur à l'instant de traversée de la 2<sup>re</sup> lame, et calculons les exponentielles d'évolution libre le long des 2 chemins entre  $t=0$  et  $t$ .

$$\text{Chemin } ABC : e^{-i\omega_{a,p}T} e^{-i\omega_{b,p+tk_L}(t-T)} \quad (3.1.a)$$

$$\text{Chemin } AB'C : e^{-i\omega_{b,p+tk_L}T} e^{-i\omega_{a,p}(t-T)} \quad (3.1.b)$$

En utilisant les expressions (2.12.a) et (2.12.b) de  $\omega_{a,p}$  et  $\omega_{b,p+tk_L}$ , on obtient, pour les termes dépendant de  $v = p/M$ , dans les exponentielles d'évolution libre le long des 2 chemins

$$\text{Chemin } ABC : e^{-ik_L v(t-T)} \quad (3.2.a)$$

$$\text{Chemin } AB'C : e^{-ik_L vT} \quad (3.2.b)$$

Le déphasage du à  $v$  entre les 2 amplitudes associées aux 2 chemins  $ABC$  et  $AB'C$  est donc égal à la différence entre les phases des 2 exponentielles (3.2.a) et (3.2.b)

$$\Phi = -k_L v (t - 2T) \quad (3.3)$$

On voit qu'il s'annule pour  $t = 2T$ . La moyenne sur les vitesses transverses  $v$  des atomes, ne fera donc plus disparaître les effets d'interférence entre les 2 chemins possibles du système, pour  $t = 2T$ . L'atome accumule un certain déphasage Doppler entre  $t=0$  et  $t=T$ . L'impulsion  $\Pi$  change le signe du déphasage Doppler et le nouveau déphasage accumulé entre  $t=T$  et  $t=2T$  compense le premier.

- Insensibilité au désaccord  $\delta = \omega_L - \omega_A$

Entre  $t=0$  et  $t=T$ , l'état a est associé au chemin inférieur  $AB$ , alors que l'état b est associé au chemin supérieur  $AB'$ . Les amplitudes des 2 chemins diffèrent donc à l'instant  $t=T$  par un facteur de phase  $e^{i(\delta - \omega_R)T}$  où  $\delta$  et  $\omega_R$  sont donnés en (2.18). Comme les états internes associés aux 2 chemins sont interchangés après l'impulsion  $\Pi$ , le nouveau facteur de phase qui apparaît entre  $t=T$  et  $t=2T$  est  $e^{-i(\delta - \omega_R)T}$ . Il compense donc le premier, de sorte que le déphasage entre les 2 amplitudes en  $t=2T$  ne dépend ni de  $v$ , ni du désaccord  $\delta$ .

### b - Comment apparaît le phénomène d'écho

Les 2 segments de droite qui se coulent en C correspondent à des états internes différents. Le phénomène résonnant apparaissant autour de  $t=2T$  doit donc se manifester sur le moment dipolaire électrique  $\vec{J}$  qui est sensible aux cohérences entre a et b (de même qu'en RMN le phénomène d'écho se manifeste sur l'aimantation transversale, sensible aux cohérences entre les états  $|1\uparrow\rangle$  et  $|1\downarrow\rangle$  du spin). Par ailleurs, les 2 segments de droite qui se coulent en C correspondent à des impulsions différentes  $p$  et  $p+tk_L$  le long de la direction  $O_3$  des ondes laser. Les grandeurs atomiques sensibles aux interférences entre les 2 chemins doivent donc présenter une modulation spatiale le long de  $O_3$  (conséquence d'une cohérence entre 2 états d'impulsions différentes). Ces 2 remarques nous conduisent donc à étudier comment varie, après  $t=T$ , la densité spatiale de polarisation associée à l'atome.

### - Densité de polarisation $\vec{J}(3)$

Introduisons l'opérateur

$$\vec{d}(3) = \vec{J} |3\rangle \langle 3| \quad (3.4)$$

produit de l'opérateur interne  $\vec{J}$  par l'opérateur externe  $|3\rangle \langle 3|$  qui représente la densité atomique en 3 (et dont la valeur moyenne est la densité de présence de l'atome en 3). Nous allons calculer la valeur moyenne de  $\vec{d}(3)$  dans l'état  $|\Psi(t)\rangle$  de l'atome après traversé des 2 ondes et voir si un phénomène résonnant apparaît sur cette valeur moyenne

- Calcul de l'état  $|\Psi(t)\rangle$  de l'atome après traversée des 2 cannes

- Nous suivons la même méthode que dans le § 3 du cours II  
A un instant  $t$  postérieur à la traversée de la 2<sup>e</sup> lame ( $t > T$ ), nous pouvons écrire

$$|\Psi(t)\rangle = c_a(t)|a, p\rangle + c_b(t)|b, p + \hbar k_L\rangle \quad (3.5)$$

où

$$\begin{cases} c_a(t) = [e^{-i\omega_{a,p}(t-T)}] [S_{ab}^{(2)} e^{i(\omega_L T + \varphi_2)}] [e^{-i\omega_{b,p+\hbar k_L}(T)}] [S_{ba}^{(1)} e^{-i(\omega_L x_0 + \varphi_1)}] \\ c_b(t) = [e^{-i\omega_{b,p+\hbar k_L}(t-T)}] [S_{ba}^{(2)} e^{-i(\omega_L T + \varphi_2)}] [e^{-i\omega_{a,p}T}] [S_{aa}^{(2)}] \end{cases} \quad (3.6)$$

- Pour des impulsions  $\frac{\pi}{2}$  et  $\pi$ , on a, compte tenu de (2.26)

$$\begin{cases} S_{aa}^{(1)} = S_{bb}^{(1)} = 1/\sqrt{2} \\ S_{aa}^{(2)} = S_{bb}^{(2)} = 0 \end{cases} \quad \begin{cases} S_{ab}^{(1)} = S_{ba}^{(1)} = -i/\sqrt{2} \\ S_{ab}^{(2)} = S_{ba}^{(2)} = -i \end{cases} \quad (3.7)$$

Pour simplifier, nous supposons que les 2 ondes ont même phase

$$\varphi_1 = \varphi_2 = 0 \quad (3.8)$$

On en déduit

$$c_a(t) = -\frac{1}{\sqrt{2}} e^{i\Delta T} e^{-i\omega_{a,p}t} \quad c_b(t) = -\frac{i}{\sqrt{2}} e^{-i\Delta T} e^{-i\omega_{b,p+\hbar k_L}t} \quad (3.9)$$

où  $\Delta$  est défini en (2.16)

- Calcul de la valeur moyenne de la densité de polarisation  $\vec{d}(3)$

$$\begin{aligned} \langle \Psi(t) | \vec{d}(3) | \Psi(t) \rangle &= c_a(t) c_b^*(t) \langle b, p + \hbar k_L | (\vec{d} | 3 \rangle \langle 3 |) | a, p \rangle + \text{c.c.} \\ &= \frac{1}{2\pi\hbar} \vec{D} e^{-i k_L z} c_a(t) c_b^*(t) + \text{c.c.} \end{aligned} \quad (3.10)$$

On a utilisé (2.3) et le fait que  $\langle 3 | P \rangle = \frac{1}{\sqrt{2\pi\hbar}} e^{iPz/\hbar}$ . Si l'on reporte (3.9) dans (3.10) et qu'on multiplie par  $e^{i\omega_L t} e^{-i\omega_L t}$ , on obtient

$$\langle \Psi(t) | \vec{d}(3) | \Psi(t) \rangle = \vec{A} e^{i(\omega_L t - k_L z)} + \text{c.c.} \quad (3.11)$$

où

$$\vec{A} = -\frac{i}{4\pi\hbar} \vec{D} e^{-i\Delta(t-2T)} = -\frac{i}{4\pi\hbar} \vec{D} e^{-i(\delta - \omega_R - k_L v)(t-2T)} \quad (3.12)$$

compte tenu de (2.17).

- Discussion physique

- Pour chaque valeur de  $v$ , il apparaît une onde de densité de polarisation de même vecteur d'onde  $k_L$  que les ondes laser.
- La moyenne sur  $v$  de  $\vec{A}$  est en général nulle. Ceci signifie que les ondes de polarisation associées aux divers atomes de vitesses différentes  $v$  se brouillent.

Ce brouillage ne se produit plus sur un intervalle de temps  $\Delta t$  très étroit autour de  $t = 2T$ , valeur de  $t$  pour laquelle l'argument de l'exponentielle de (3.12) s'annule. La largeur de cet intervalle de temps  $\Delta t$  est de l'ordre de l'inverse de la largeur Doppler  $k_L \delta v$ ,  $\delta v$  étant la dispersion des valeurs de  $v$  autour de  $\bar{v} = 0$ . Après cette moyenne sur  $v$ , le facteur de phase qui subsiste dans (3.12),  $\exp[-i(\delta - \omega_R)(t-2T)]$ , est égal à 1

pour  $t = 2T$  et ne dépend plus alors de  $\delta$ . Pour  $|t - 2T| \ll 1/k_L \delta v$ , ce facteur de phase reste pratiquement égal à 1 tant que  $\delta - \omega_R$  reste inférieur à  $k_L \delta v$ .

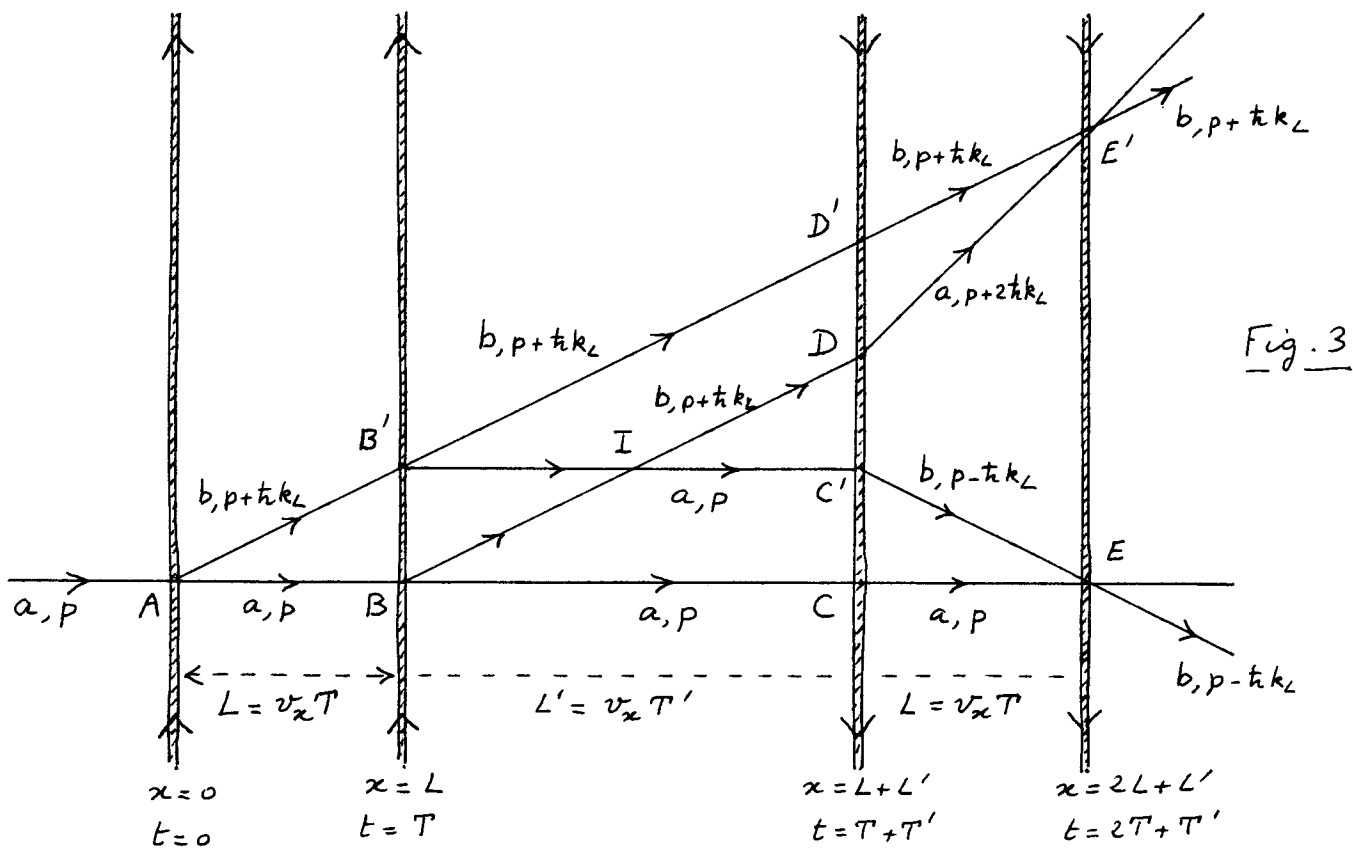
L'apparition transitoire de cette densité de polarisation moyenne en  $e^{i(\omega_L t - k_L 3)}$  autour de  $t = 2T$  (c-à-d encore autour de  $x = 2L$ ) entraîne que le milieu atomique peut émettre autour de  $t = 2T$  une impulsion lumineuse dans la même direction que les 2 ondes laser. C'est le phénomène d'echo recherché.

- On pourrait également appliquer une 3<sup>e</sup> onde laser progressive, parallèle aux 2 autres, en  $x = 2L$ , et étudier comment cette onde échange de l'énergie avec la densité de polarisations qui apparaît à son emplacement. On trouverait qu'il apparaît, sur la probabilité  $P_b$  ( $P_a$ ) de trouver l'atome dans l'état  $b$  ( $a$ ) après traversée de la 3<sup>e</sup> onde, des effets d'interférence qui ne s'annulent pas après moyenne sur  $v$  et qui ne dépendent que très peu de  $\delta$ .

## ② Franges de Ramsey à 4 ondes progressives (Rfs. 4, 5)

### a) - Problème physique étudié

Onde 1      Onde 2      Onde 3      Onde 4



L'atome traverse 2 paires d'ondes progressives se propageant dans des sens opposés (Voir Fig. 3). Il entre dans l'état  $|a, p\rangle$  et on cherche la probabilité de le trouver dans l'état  $b$  après traversé des 4 ondes.

## b) Effets d'interférence pouvant donner des franges de Ramsey [III - 6]

- La figure 3 représente quelques "chemins" possibles du système. Comme les photons associés aux ondes 3 et 4 ont des impulsions  $-tk_L$ , le passage de a à b (avec absorption d'un photon) au point c' ou au point E' diminue  $p$  de  $tk_L$ , alors que le passage de b à a (avec émission d'un photon) en D augmente  $p$  de  $tk_L$ .
- Effets d'interférence ne s'annulant pas après moyenne sur  $v$ .

Le même raisonnement que celui fait dans le § 1 plus haut montre que les chemins qui interferent doivent se croiser si l'on veut que la moyenne sur  $v$  des termes d'interférence ne s'annule pas. Les déphasages Doppler sur les 2 chemins doivent en effet être les mêmes et il ne peut en être ainsi qu'en voisinage d'un point de croisement.

Considérons par exemple les 2 chemins  $AB'D'E'$  et  $ABDE'$  qui conduisent tous les deux à l'état  $b, p+tk_L$ . Entre  $t=0$  et  $t=T$ , le déphasage Doppler est  $-k_L v T$  sur le chemin du haut, 0 sur le chemin du bas. Entre  $t=T$  et  $t=T+T'$  les déphasages Doppler sont les mêmes. Enfin, entre  $t=T+T'$  et  $t=2T+T'$ , le déphasage Doppler est  $-k_L v T$  sur le chemin du haut,  $-2k_L v T$  sur le chemin du bas. Le retard pris par le chemin du haut entre  $t=0$  et  $t=T$  est donc rattrapé entre  $t=T+T'$  et  $t=2T+T'$ . Le même raisonnement est valable pour les 2 chemins  $AB'C'E$  et  $ABCE$  qui conduisent tous les deux à  $b, p-tk_L$  et se croisent en E.

### Effets d'interférence sensibles au déphasage

Revenons aux 2 chemins  $AB'D'E'$  et  $ABDE'$ . Dans la partie centrale ( $B'D'$  et  $BD$ ), l'état interne est le même dans les 2 chemins. Il n'en est pas de même dans les 2 parties extrêmes ( $AB'$  et  $AB$ ,  $D'E'$  et  $DE'$ ). Mais l'état interne b est toujours dans le chemin du haut alors que l'état interne <sup>(a)</sup> est toujours dans le chemin du bas. Les déphasages liés au désaccord  $\delta = \omega_L - \omega_N$  entre  $AB'$  et  $AB$  d'une part,  $D'E'$  et  $DE'$  d'autre part, s'ajoutent donc. L'interférence entre les 2 chemins fait donc apparaître un facteur de phase relatif en  $\exp(2i\delta T)$  et doit donc pouvoir donner naissance à des franges de Ramsey. Le même raisonnement est valable pour les 2 chemins  $AB'C'E$  et  $ABCE$ .

- On peut vérifier qu'il n'existe pas d'autres paires de chemins, autres que les 2 paires représentées sur la figure 3, qui, à la fois se croisent et sont sensibles au désaccord  $\delta$ . Par exemple, on voit sur la figure 3 un croisement I qui correspond à l'écho de photons étudié au § 2, mais qui ne donne pas de franges de Ramsey.

## c) Calcul de la probabilité de changer d'état interne après traversé des 4 ondes

- Hypothèses simplificatrices. - On néglige tout processus dissipatif.

Toutes les phases sont supposées égales :  $\varphi_1 = \varphi_2 = \varphi_3 = \varphi_4 = 0$

Chaque traversé est équivalente à une impulsion  $\pi/2$ . Toutes les matrices S sont égales à

$$(S) = \begin{pmatrix} 1/\sqrt{2} & -i/\sqrt{2} \\ -i/\sqrt{2} & 1/\sqrt{2} \end{pmatrix} \quad (3.13)$$

### - Termes carrés

A chaque traversée d'onde, chaque chemin se sépare en 2, de sorte qu'après traversée de la 4<sup>e</sup> onde, il y a  $2^4 = 16$  chemins, 8 correspondant à l'état interne b, et 8 à l'état a (la figure 3 ne représente que 8 de ces 16 chemins possibles, qui sont au nombre de 4 avant traversée de la 4<sup>e</sup> onde)

Pas symétrique, les probabilités de ces 16 chemins sont égales au carré du module d'un produit de 4 éléments de matrice S, c'est à dire d'après (3.13) à  $(1/2)^4 = 1/16$  (les exponentielles d'évolution libre et les exponentielles associées à l'absorption où à l'émission d'un photon ont un module égal à 1. Voici fin du § 2 du cours II)

La contribution des termes carrés à la probabilité  $P(b)$  d'émerger dans l'état b après traversée des 4 ondes est donc égale à

$$\text{Contribution des termes carrés à } P(b) = 8 \times \frac{1}{16} = \frac{1}{2} \quad (3.14)$$

### - Interférences entre les 2 chemins $AB'D'E'$ et $ABDE'$

- Amplitude associée à  $AB'D'E'$

En appliquant la règle donnée à la fin du § 2 du cours II, on trouve

$$A_1 = \left[ \frac{1}{\sqrt{2}} \right] \left[ e^{-i\omega_{b,p+tk_L T}} \right] \left[ \frac{1}{\sqrt{2}} \right] \left[ e^{-i\omega_{b,p+2tk_L T}} \right] \left[ \frac{1}{\sqrt{2}} \right] \left[ e^{-i\omega_{b,p+tk_L T}} \right] \left[ \frac{-i}{\sqrt{2}} \right] \quad (3.15.a)$$

- Amplitude associée à  $ABDE'$

$$A_2 = \left[ \frac{-i}{\sqrt{2}} e^{-i\omega_L(2T+T')} \right] \left[ e^{-i\omega_{a,p+2tk_L T}} \right] \left[ \frac{i}{\sqrt{2}} e^{i\omega_L(T+T')} \right] \left[ e^{-i\omega_{b,p+tk_L T'}} \right] \left[ \frac{i}{\sqrt{2}} e^{-i\omega_L T} \right] \left[ e^{-i\omega_{a,p} T} \right] \left[ \frac{1}{\sqrt{2}} \right] \quad (3.15.b)$$

- En utilisant les définitions de  $\omega_{a,p}$ ,  $\omega_{a,p+2tk_L}$ ,  $\omega_{b,p+tk_L}$  (voir Eqs. 2.12), de même que les définitions (2.18) de  $\delta$ ,  $\omega_b$ ,  $\omega_R$ , on obtient

$$A_1 A_2^* + A_1^* A_2 = -\frac{1}{8} \cos 2(\omega_L - \omega_A + \omega_R) T \quad (3.16)$$

On vérifie bien sur (3.16) que les termes d'interférence entre  $AB'D'E'$  et  $ABDE'$  sont indépendants de  $\omega_D = k_L p/M = k_L v$ , mais dépendent par contre de  $\delta = \omega_L - \omega_A$ .

### - Interférences entre les 2 chemins $AB'C'E$ et $ABC'E$

Si  $B_1$  et  $B_2$  sont les amplitudes associées à ces 2 chemins, un calcul analogue au précédent donne

$$B_1 B_2^* + B_1^* B_2 = -\frac{1}{8} \cos 2(\omega_L - \omega_A - \omega_R) T \quad (3.17)$$

### - Récapitulation. En regroupant tous les résultats précédents, on trouve, pour la probabilité $P(b)$

$$P(b) = \frac{1}{2} - \frac{1}{8} [\cos 2(\omega_L - \omega_A + \omega_R) T + \cos 2(\omega_L - \omega_A - \omega_R) T] \quad (3.18)$$

Si l'énergie de recoil peut être négligée, l'expression précédente se simplifie pour donner

$$P(b) = \frac{1}{2} - \frac{1}{4} \cos 2(\omega_L - \omega_A) T \quad (3.19)$$

### d) Discussion physique

- L'expression (3.18) montre qu'il apparaît sur  $P(b)$  2 systèmes de franges de Ramsey centrées en  $\omega_L = \omega_A + \omega_R$  et  $\omega_L = \omega_A - \omega_R$ . S'il existe une dispersion de vitesses  $\delta v_x$  sur la vitesse des atomes  $v_x$  perpendiculaire aux ondes laser (voir Fig. 1 du cours II), ceci entraîne une dispersion  $\delta T$  et  $\delta T'$  des temps d'interaction  $T$  et  $T'$ . La moyenne

de (3.16) et (3.17) sur  $T$  attirent beaucoup les franges autres que la fringe centrale. L'allure de  $P(b)$  est alors celle d'un doublet de 2 raies étroites (de largeur  $1/T$ ), centrées en  $w_L = w_A \pm w_R$  (doublet de recoil).

- On voit sur la figure 3 que, dans la région centrale (entre les ondes 2 et 3), l'état interne est le même sur les 2 chemins se croisant en  $E$  (état a), et différent de l'état interne correspondant aux 2 chemins se croisant en  $E'$  (état b). Si les durées de vie  $\tau_a$  et  $\tau_b$  des états a et b satisfont  $\tau_a \gg T + 2T$ ,  $T' \gg \tau_b \gg T$ , la contribution des 2 chemins se croisant en  $E'$  est éliminée, et  $P(b)$  se réduit à (3.17).

- Des franges de Ramsey à 4 ondes progressives ont été observées sur des molécules  $SF_6$  (Voir Réfs 4, 5 qui donnent également une interprétation des franges en termes de spin fictif et une représentation diagrammatique de calculs faits sur la matrice densité. Voir aussi Réfs. 6 et 7)

### ③ Lien avec l'interférométrie atomique (Voir Réfs 8 et 9)

a - Autre représentation possible de l'état atomique externe

- Représentation utilisée jusqu'ici - Représentation 1

Mélange statistique d'états  $|p\rangle$ . Chaque état  $|p\rangle$  du mélange correspond à une onde plane  $e^{ipz/\hbar}$ .

Dispersion  $\delta p = M\delta v$  des valeurs possibles de  $p$

- Autre représentation possible - Représentation 2

Un même opérateur densité peut être associé à plusieurs mélanges statistiques différents.

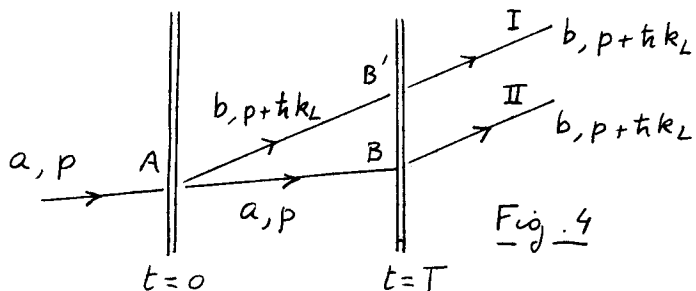
Un mélange statistique d'états  $|p\rangle$  est équivalent à un mélange statistique de paquets d'ondes.

La largeur  $\Delta z$  en  $z$  de chaque paquet d'ondes est supérieure ou égale à la longueur de cohérence  $\xi$  le long de l'axe  $z$ .

$$\xi = \frac{\hbar}{\delta p} = \frac{\hbar}{M\delta v} \quad (3.20)$$

b - Autre interprétation possible du brouillage des signaux par moyenne sur  $v$ .

- Retour aux franges de Ramsey à 2 ondes progressives



2 chemins possibles pour passer de l'état interne a à l'état interne b. Le photon peut être absorbé, soit dans la 1<sup>re</sup> onde (chemin I : AB') soit dans la 2<sup>me</sup> (chemin II : AB)

- La figure 4 est dessinée en prenant des états externes d'impulsion bien définie. Chaque segment de droite correspond à une onde plane,  $p$  ou  $p+tk_L$ .

- Si l'état entrant externe est un état quelconque  $|\Psi(3)\rangle$  (juste avant  $t=0$ ), on peut suivre l'évolution

de l'état extérieur le long de chaque chemin. L'absorption d'un photon est décrite par l'action de l'opérateur  $e^{ik_L Z}$  (opérateur de translation de l'impulsion, d'une quantité  $\hbar k_L$  correspondant à l'impulsion du photon absorbé); l'évolution libre pendant un intervalle de temps  $T$  est décrite par l'action de l'opérateur  $e^{-iP^2 T / 2M \hbar}$  où  $P$  est l'opérateur impulsion. On en déduit que les états extérieurs  $|\Psi_I\rangle$  et  $|\Psi_{II}\rangle$  correspondant aux 2 chemins I et II sont donnés (juste après  $t=T$ ) par les expressions

$$\{ |\Psi_I(t+T)\rangle = e^{-i\frac{P^2}{2M\hbar}T} e^{ik_L Z} |\Psi\rangle \quad (3.21.a)$$

$$\{ |\Psi_{II}(t+T)\rangle = e^{ik_L Z} e^{-i\frac{P^2}{2M\hbar}T} |\Psi\rangle \quad (3.21.b)$$

- Dans la représentation 2, les segments de droite de la figure 4 peuvent être interprétées comme étant les trajectoires suivies par le centre du paquet d'ondes incident.  $p$  doit être alors compris comme l'impulsion moyenne du paquet d'ondes incident.  $BB'$  représente l'écart spatial entre les centres des 2 paquets d'onde obtenus après traversée de la première lame. On a

$$BB' = \frac{\hbar k_L}{m} T = v_{rec} T \quad (3.22)$$

où  $v_{rec} = \hbar k_L / m$

est la vitesse de recul associée à l'absorption d'un seul photon. Notons que  $BB'$  est indépendant de  $p$ .

#### - Intégrale de recouvrement des 2 paquets d'ondes sortants

- C'est le produit scalaire  $\mathcal{R}$  des 2 états extérieurs sortants

$$\mathcal{R} = \langle \Psi_{II}(t+T) | \Psi_I(t+T) \rangle \quad (3.23)$$

Notons que ce produit scalaire n'évolue plus après  $t=T$ , car un évolution unitaire ne change pas le produit scalaire

- Pour calculer  $\mathcal{R}$ , nous utiliserons

$$e^{-ik_L Z} P e^{ik_L Z} = P + \hbar k_L \quad (3.24)$$

qui découle de  $[P, Z] = -i\hbar$ . On obtient alors

$$\begin{aligned} \mathcal{R} &= \langle \Psi_{II}(t+T) | \Psi_I(t+T) \rangle = \langle \Psi | e^{i\frac{P^2}{2M\hbar}T} e^{-ik_L Z} e^{-i\frac{P^2}{2M\hbar}T} e^{ik_L Z} | \Psi \rangle \\ &= \langle \Psi | e^{i\frac{P^2}{2M\hbar}T} e^{-i\frac{(P+\hbar k_L)^2}{2M\hbar}T} e^{ik_L Z} | \Psi \rangle = e^{-i\frac{\hbar k_L^2}{2M}T} \langle \Psi | e^{-i v_{rec} T P / \hbar} | \Psi \rangle \end{aligned} \quad (3.25)$$

- Calcul de  $\langle \Psi | e^{-i v_{rec} T P / \hbar} | \Psi \rangle$  en représentation position

En utilisant le fait que  $e^{iaP/\hbar}$  est un opérateur de translation de la position

$$e^{iaP/\hbar} |z\rangle = |z-a\rangle \quad (3.26)$$

on obtient pour  $\mathcal{R}$ , constante temp de  $\omega_R = \hbar k_L^2 / 2M$

$$\mathcal{R} = e^{-i\omega_R T} \int dz \Psi^*(z + v_{rec} T) \Psi(z) \quad (3.27)$$

L'intégrale de (3.27) est l'intégrale de recouvrement de 2 paquets d'ondes identiques au paquet d'ondes incident et décalés l'un par rapport à l'autre de  $v_{rec} T = BB'$  (voir 3.22). Cette intégrale peut être encore considérée comme la cohérence spatiale globale du paquet d'ondes incident à une distance donnée  $v_{rec} T$  (somme des cohérences spatiales entre tous les couples de points  $z$  et  $z'$  séparés par une distance donnée  $|z-z'| = v_{rec} T$ )

- Calcul de  $\langle \psi | e^{-i v_{\text{rect}} T} P / \hbar | \psi \rangle$  en représentation impulsions

En introduisant la base  $\{|p\rangle\}$  des états propres de  $P$  et la fonction d'onde  $\langle p|\psi\rangle = \tilde{\Psi}(p)$  en représentation  $p$ , on obtient

$$\mathcal{R} = e^{-i \omega_k T} \int dp |\tilde{\Psi}(p)|^2 e^{-i v_{\text{rect}} T p / \hbar} = e^{-i \omega_k T} F(u = v_{\text{rect}} T) \quad (3.28)$$

où

$$F(u) = \int dp \beta(p) e^{-i u p / \hbar} \quad (3.29)$$

est la transformée de Fourier de la distribution d'impulsions  $\beta(p) = |\tilde{\Psi}(p)|^2$ .

- Conclusion. Comme la largeur de  $\beta(p)$  est  $\delta_p = M \delta v$ , la largeur de  $F(u)$  n'est autre que la longueur de cohérence  $\xi$  donnée en (3.20). Les états extremaux sortants seront orthogonaux et ne pourront donc plus interférer si leur séparation  $v_{\text{rect}} T$  est très grande devant la longueur de cohérence  $\xi$ .

$$\begin{array}{c} \text{Brouillage des} \\ \text{interférences} \end{array} \iff \begin{array}{c} \text{Séparation } v_{\text{rect}} T \\ \text{des centres des 2} \\ \text{paquets d'ondes} \end{array} \gg \begin{array}{c} \text{longueur de} \\ \text{cohérence } \xi \text{ du} \\ \text{paquet incident} \end{array} \quad (3.30)$$

L'analyse précédente donne ainsi une nouvelle interprétation de la condition de brouillage Doppler  $k_L \delta v T \gg 1$  du cours II qui est équivalente à  $\hbar k_L T / M \gg \hbar / M \delta v$ , c.-à-d à  $v_{\text{rect}} T \gg \xi$ .

- Notons que le produit scalaire des 2 paquets d'ondes peut être nul même s'ils se recouvrent, c.-à-d même si  $\Delta z > v_{\text{rect}} T$  où  $\Delta z$  est la largeur spatiale. Ne pas confondre largeur spatiale  $\Delta z$  et longueur de cohérence  $\xi$  qui peut être très inférieure à  $\Delta z$ .

### C - Comment éliminer le brouillage des effets d'interférence.

Les centres des 2 paquets d'ondes sortants doivent être ramenés l'un vers l'autre, à une distance inférieure à  $\xi$ , pour que leur produit scalaire redescende de l'ordre de 1.

On reinterprète ainsi les figures 2 et 3 comme représentant les trajectoires des centres de 2 paquets d'ondes cohérents qui sont formés à partir du même paquet d'onde incident après traversé de la 1<sup>re</sup> onde et qui sont ensuite recombinés. Une telle situation correspond effectivement à un interféromètre atomique.

### Références

- (1) A. Abragam, *The Principles of Nuclear Magnetism*, Oxford 1961
- (2) T.W. Mossberg, R. Kachru, S.R. Hartmann, A.M. Flussberg  
*Phys. Rev. A 20*, 1976 (1979)
- (3) T.W. Mossberg, S.R. Hartmann, *Phys. Rev. A 23*, 1271 (1981)
- (4) C. Salomon, Thèse Paris 1984.
- (5) C.J. Bordé, C. Salomon, S. Avrillier, A. Van Leiberghe, C. Bréant, D. Bassi, S. Scelz, *Phys. Rev. A 30*, 1836 (1984)
- (6) C. Bordé, *Advances in Laser Spectroscopy*, ed. by F.T. Arnschi, F. Strumia, H. Walther (Plenum, 1983) p. 1
- (7) C. Bordé, *Revue du Céhédac, Ondes et Signal NS83-1* (1983)
- (8) C. Bordé, *Physics Letters A 140*, 10 (1989)
- (9) C. Bordé, in *Laser Spectroscopy X*, ed. by M. Dulay, E. Giacobino, G. Camy, World Scientific 1992, p. 239.